

ФЕДЕРАЛЬНОЕ АГЕНТСТВО ВОЗДУШНОГО ТРАНСПОРТА
ФЕДЕРАЛЬНОЕ ГОСУДАРСТВЕННОЕ БЮДЖЕТНОЕ
ОБРАЗОВАТЕЛЬНОЕ УЧРЕЖДЕНИЕ ВЫСШЕГО ОБРАЗОВАНИЯ
«МОСКОВСКИЙ ГОСУДАРСТВЕННЫЙ ТЕХНИЧЕСКИЙ
УНИВЕРСИТЕТ ГРАЖДАНСКОЙ АВИАЦИИ» (МГТУ ГА)

Кафедра технической эксплуатации
радиоэлектронного оборудования воздушного транспорта

Д.Н. Яманов

ЭЛЕКТРОДИНАМИКА И РАСПРОСТРАНЕНИЕ РАДИОВОЛН

Учебно-методическое пособие
по выполнению контрольной работы

*для студентов III курса
специальности 25.05.03
заочной формы обучения*

Москва
ИД Академии Жуковского
2020

УДК 537.8+621.371
ББК 537
Я54

Рецензент:

Кудинов А.Т. – канд. техн. наук, доцент, профессор

Яманов Д.Н.

Я54 Электродинамика и распространение радиоволн [Текст] : учебно-методическое пособие по выполнению контрольной работы / Д.Н. Яманов. – М.: ИД Академии Жуковского, 2020. – 24 с.

Данное учебно-методическое пособие издается в соответствии с рабочей программой учебной дисциплины «Электродинамика и распространение радиоволн» по учебному плану для студентов III курса специальности 25.05.03 заочной формы обучения.

Рассмотрено и одобрено на заседаниях кафедры 16.01.2020 г. и методического совета 16.01.2020 г.

УДК 537.8+621.371
ББК 537

В авторской редакции

Подписано в печать 29.06.2020 г.
Формат 60x84/16 Печ. л. 1,5 Усл. печ. л. 1,395
Заказ № 612/0413-УМП21 Тираж 50 экз.

Московский государственный технический университет ГА
125993, Москва, Кронштадтский бульвар, д. 20

Издательский дом Академии имени Н. Е. Жуковского
125167, Москва, 8-го Марта 4-я ул., д. 6А
Тел.: (495) 973-45-68
E-mail: zakaz@itsbook.ru

© Московский государственный технический
университет гражданской авиации, 2020

ВВОДНЫЕ УКАЗАНИЯ К ВЫПОЛНЕНИЮ КОНТРОЛЬНОЙ РАБОТЫ

В контрольную работу входят три задачи. Варианты заданий берутся из табл. 1 и 2. Задание выбирается в соответствии с двумя последними цифрами студенческого билета (ХУ).

В таблицах заданы для первой задачи: вид поляризации волны, значения угла падения θ , напряженности электрического поля E , частоты f , удельной объемной проводимости γ ; для второй задачи: форма сечения волновода и тип волны, напряженность поля E , длина линии l , полоса рабочих частот $\Delta f = f_{\text{мин}} - f_{\text{макс}}$; удельная объемная проводимость γ ; для третьей задачи: форма и тип резонатора, поле E , относительная диэлектрическая проницаемость $\varepsilon = \frac{\varepsilon_a}{\varepsilon_0}$ и размеры a , b , d у прямоугольного резонатора или R и d у цилиндрического резонатора.

Нужные данные для расчета находятся из табл.1 и 2 следующим образом: из табл. 1 находятся данные в соответствии с предпоследней цифрой студенческого билета (X); из табл. 2 находятся данные в соответствии с последней цифрой студенческого билета (У). Например, № 72 (X=7,У=2) должен использовать следующие данные для первой задачи: волна горизонтальной поляризации с углом падения $\theta=22^\circ$, с напряженностью электрического поля $E=7 \cdot 10^{-3}$ В/м, с частотой $f=70$ МГц, удельной объемной проводимостью $\gamma=8 \cdot 10^7$ 1/Ом·м; для второй задачи: волновод прямоугольный, с волной типа H_{10} , $E = 30$ В/м, с длиной $l = 1,1$ м, полосой рабочих частот $\Delta f = (3,8 \div 4)$ ГГц; удельной объемной проводимостью $\gamma = 8 \cdot 10^7$ 1/Ом·м; для третьей задачи: прямоугольный резонатор, тип колебаний E_{110} , $E = 80$ В/м, $\varepsilon=1,3$, размеры сторон $d = 10$ см, $b = 10$ см, $a = 15$ см.

Образец титульного листа приведен в Приложении 5.

Расчеты по каждому пункту следует начинать с названия искомой величины. Затем выписать формулу, по которой эта величина определяется, и сделать последовательную числовую подстановку всех величин, входящих в эту формулу, в системе единиц СИ. После этого привести ответ с указанием размерности полученной величины.

Пособиями, кроме данного, при выполнении контрольной работы могут являться [1-4].

В конце решения каждой задачи провести анализ полученных результатов.

Таблица 1

| Вариант XY | | 0Y | 1Y | 2Y | 3Y | 4Y | 5Y | 6Y | 7Y | 8Y | 9Y |
|------------|-------------------|-----------|-------------------|-------------------|-------------------|-------------------|----------------|-------------------|-------------------|-------------------|------------------|
| Задача №1 | E, В/м | 10^{-4} | $2 \cdot 10^{-4}$ | $3 \cdot 10^{-4}$ | $4 \cdot 10^{-4}$ | $5 \cdot 10^{-4}$ | 10^{-3} | $6 \cdot 10^{-3}$ | $7 \cdot 10^{-3}$ | $8 \cdot 10^{-3}$ | 10^{-2} |
| | γ , 1/Ом·м | 10^6 | $2 \cdot 10^7$ | $3 \cdot 10^7$ | $4 \cdot 10^7$ | $5 \cdot 10^7$ | $6 \cdot 10^7$ | $7 \cdot 10^7$ | $8 \cdot 10^7$ | $9 \cdot 10^7$ | 10^7 |
| Задача №2 | Δf , ГГц | 15,15-19 | 11-12 | 9-10 | 8-9 | 7-8 | 4,5-5,2 | 4,7-5 | 3,8-4 | 3,1-3,5 | 2,5-3 |
| | E, В/м | 85 | 20 | 40 | 30 | 65 | 50 | 45 | 30 | 20 | 10 |
| | γ , 1/Ом·м | 10^7 | $2 \cdot 10^7$ | $3 \cdot 10^7$ | $4 \cdot 10^7$ | $5 \cdot 10^7$ | $6 \cdot 10^7$ | $7 \cdot 10^7$ | $8 \cdot 10^7$ | $9 \cdot 10^7$ | $1,5 \cdot 10^7$ |
| Задача №3 | E, В/м | 200 | 100 | 250 | 150 | 300 | 120 | 170 | 80 | 70 | 50 |
| | R, см | 28 | 26 | 24 | 22 | 20 | 18 | 15 | 12 | 10 | 8 |
| | d, см | 20 | 23 | 10 | 31 | 22 | 44 | 12 | 10 | 20 | 10 |
| | b, см | 10 | 12 | 13 | 5 | 4 | 6 | 8 | 10 | 12 | 15 |
| | a, см | 20 | 25 | 30 | 10 | 9 | 12 | 14 | 15 | 24 | 30 |

Таблица 2

| Вариант ХУ | | X0 | X1 | X2 | X3 | X4 | X5 | X6 | X7 | X8 | X9 |
|------------|-------------------------|----------------|-----|-----------|-----|-----|-----|----------------------|-----|-----------|-----|
| Задача №1 | f , МГц | 90 | 85 | 70 | 60 | 50 | 45 | 35 | 30 | 25 | 15 |
| | θ° , градус | 12 | 17 | 22 | 27 | 32 | 37 | 42 | 47 | 57 | 63 |
| | Поляризация | Горизонтальная | | | | | | Вертикальная | | | |
| Задача №2 | Сечение | Прямоугольное | | | | | | Круглое | | | |
| | Тип волны | H_{10} | | | | | | H_{11} | | E_{01} | |
| | l , м | 0,8 | 1,0 | 1,1 | 1,2 | 1,3 | 2,0 | 2,4 | 2,3 | 3,0 | 3,5 |
| Задача №3 | Форма | Параллелепипед | | | | | | Коаксиальный цилиндр | | Цилиндр | |
| | Тип колебаний | H_{101} | | E_{110} | | | | $T(TEM)$ $p=1$ | | E_{010} | |
| | ϵ | 1,2 | 1,3 | 1,3 | 1,5 | 1,6 | 1,7 | 1,8 | 1,9 | 2,0 | 2,3 |

ЗАДАЧА 1. ПЛОСКИЕ ЭЛЕКТРОМАГНИТНЫЕ ВОЛНЫ

1.1. Задано

Плоская однородная волна частоты f МГц заданной поляризации с E В/м падает из воздуха с $\epsilon_0 = 8,8 \cdot 10^{-12}$ Ф/м и $\mu_0 = 12,5 \cdot 10^{-7}$ Г/м на сверхпроводящую плоскость (рис.П.1.1).

1.2. Требуется определить:

1. Нормальные H_x (или E_x) и касательные H_z (или E_z) (рис.П.1.1) к границе компоненты полей падающей волны. В скобках поля для вертикальной поляризации. Учсть связь между E и H .

2. У падающей волны: коэффициент фазы, фазовую и групповую скорости и длину волны вдоль направления падения волны: β , v_ϕ , v_{gp} , λ и по направлению вдоль z : β_z , $v_{\phi z}$, v_{gpz} , λ_z (рис.П.1.2).

3. Модуль усредненного по времени вектора Умова-Пойнтинга падающей волны.

4. Эффективную поверхностную плотность тока δ_s на сверхпроводящей плоскости.

5. Удельное поверхностное сопротивление R_s отражающей поверхности при $\mu_0 = 12,5 \cdot 10^{-7}$ Г/м, γ 1/Ом·м и глубины проникновения Δ° .

6. Полное сопротивление проводника с размерами $l_y = 50$ см и $l_z = 30$ см.

7. Удельную r_t и полную мощность тепловых потерь P_t на отражающей поверхности с площадью $S = l_y \cdot l_z$.

8. Написать, при какой поляризации может иметь место явление полного преломления (т.е. отсутствует отраженная волна) и при каких условиях может наступить явление полного отражения (т.е. отсутствует преломленная волна) и определить угол Брюстера и критический угол падения, если $\epsilon_1 = 2$, $\epsilon_2 = 1$.

ЗАДАЧА 2. ЛИНИИ ПЕРЕДАЧИ ВЫСОКОЧАСТОТНОГО ДИАПАЗОНА

2.1. Задано

При расчетах необходимо пользоваться только системой единиц СИ.

В таблице вариантов заданий заданы: форма поперечного сечения волновода и тип волны в нем, максимальная амплитуда напряженности электрического поля, длина линии передачи l , полоса рабочих частот $f_{мин} - f_{макс}$. Волновод заполнен воздухом, удельная объемная проводимость стенок γ , пробивная напряженность $E_{проб} = 3$ кВ/мм, КБВ = 0,8. Для расчета допустимой длины линии – длительность импульса $\tau = 10^{-7}$ с, частота заполнения $f_{макс}$.

2.2. Требуется выполнить следующее:

1. Выбрать поперечные размеры прямоугольного волновода по заданным рабочим частотам и по минимальной частоте у круглого волновода. Стандарт на волноводы приведен в табл.П.2.1.

2. Найти значения K_x , K_y , K_z (прямоугольный волновод) и $g_{E,H}$, K_z (круглый волновод) – на λ_{cp} .
3. Используя найденные в П.2.2 значения K , записать выражения для полей заданного типа волн.
4. Найти поперечные размеры волновода при работе с высшими типами волн (при заданной рабочей волне H_{10} – найти размеры для волны H_{20} ; при работе с волной H_{11} в круглом волноводе найти диаметр под волну E_{01} , а при работе с высшей волной E_{01} , найти диаметр для волны H_{11}). Показать, в каком случае поперечные размеры получаются меньше – при работе с основной или с высшей волной.
5. Найти критическую частоту и критическую длину волны заданного типа.
6. Найти длину волны в волноводе, фазовую и групповую скорости на средней длине волны.
7. Найти максимально допустимую длину волновода, при которой не наблюдалось бы заметных искажений формы сигнала при работе короткими импульсами высокой частоты f_{max} и длительностью $\tau = 10^{-7}$ с.
8. Рассчитать предельную мощность в волноводе на средней частоте при выбранных его стандартных размерах. Найти пробивную мощность при $K_{CB} = 1,2$, максимально допустимую мощность и сравнить ее с рабочей мощностью.
9. Найти коэффициент затухания на средней частоте.
10. Найти отношение амплитуд поля (при $x = \text{const}$ и $y = \text{const}$) и мощностей на расстоянии l , m при рассчитанной величине коэффициента затухания.
11. Определить, на каком расстоянии амплитуды поля волн H_{20} в прямоугольном и H_{01} в круглом волноводах (исходя из задания), находящихся в закритическом режиме, уменьшаются не менее чем в сто раз, если частота равна средней частоте диапазона (надо предварительно найти λ_{cp} волны H_{20} или H_{01}).
12. Найти КПД несогласованной с нагрузкой линии передачи при длине линии l и КБВ = 0,8.

ЗАДАЧА 3. ОБЪЕМНЫЕ РЕЗОНАТОРЫ

3.1. Задано

При расчетах необходимо пользоваться только системой единиц СИ. Задана форма резонатора и тип колебания (H_{mnp} , E_{mnp} или T (ТЕМ) $_{p=1}$), его размеры a , b , d – в прямоугольном резонаторе, радиус R и длина d – в цилиндрическом резонаторе; меньший радиус $R_1 = 50$ мм и больший радиус $R_2 = R$, длина d – в коаксиальном резонаторе. Дана максимальная амплитуда напряженности электрического поля $E = E_{т макс}$, В/м, проводимость материала

стенок равна $\gamma = 10^7 \text{ 1/Ом}\cdot\text{м}$, заполнение воздушное, $\mu_a = \mu_0 = 12,5 \cdot 10^{-7} \text{ Г/м}$, $\epsilon_a = \epsilon_0 = 8,8 \cdot 10^{-12} \text{ Ф/м}$.

3.2. Требуется выполнить следующее:

1. Нарисовать картину поля заданного типа колебания, используя рис.П.3.1.

2. Записать выражения для компонент поля соответствующего типа колебаний. В эти выражения надо подставить числовые значения K_x , K_y , K_z , которые заданы типом колебаний и размерами a, b, d, R.

3. Найти резонансную частоту $\omega_{рез}$ резонатора с заданным типом колебания.

4. Запасенную энергию электромагнитного поля W (считать, что заданное электрическое поле E равно соответственно $E_{zt макс}$, $E_{yt макс}$ или $E_{rt макс}$ – амплитуде поля в том месте, где поле максимально).

5. Глубину проникновения в материал стенок.

6. Добротность резонатора Q без учета потерь в диэлектрике.

7. Постоянную времени τ_0 . Определить, во сколько раз уменьшится запасенная в резонаторе энергия при свободных колебаниях за время $t = 5 \text{ с}$.

Методики решения задач приведены в Приложениях 1, 2, 3.

ЛИТЕРАТУРА

1. Григорьев А.Д. Электродинамика и техника СВЧ.-М.: Высшая школа, 1990.-335с.

2. Яманов Д.Н. Электродинамика и распространение радиоволн: Часть 1. Основы электродинамики: Тексты лекций. -М.: МГТУ ГА, 2009.-76с.

3. Яманов Д.Н. Электродинамика и распространение радиоволн. Часть 2. Основы электродинамики: Тексты лекций. -М.: МГТУ ГА, 2011.-77с.

4. Баскаков С.И. Электродинамика и распространение радиоволн.-М.: Высшая школа, 1992.-416 с.

СОДЕРЖАНИЕ

| | |
|---|---|
| Вводные указания к выполнению контрольной работы | 3 |
| Задача 1. Плоские электромагнитные волны | 6 |
| Задача 2. Линии передачи высокочастотного диапазона | 6 |
| Задача 3. Объемные резонаторы | 7 |
| Литература | 8 |
| Приложения | 9 |

ПРИЛОЖЕНИЯ

Приложение 1

П.1. Методика решения задачи 1.

П.1.1. При вертикальной поляризации (см. рис.П.1.1) нормальная к границе компонента поля $-E_x$, касательные компоненты поля $-E_z$ и $H_y = H_{пад}$.

Электрическое и магнитное поля плоской однородной волны связаны между собой через волновое сопротивление среды $\dot{\eta}$

$$\dot{\eta} = \frac{\dot{E}}{H} = \sqrt{\frac{\mu_a}{\epsilon_a}}, \text{ Ом,}$$

где $\mu_a = \mu_0 \cdot \mu$ - абсолютная магнитная проницаемость среды;

$\mu_0 = 120\pi / c$ - абсолютная магнитная проницаемость вакуума (магнитная постоянная);

c - скорость света в вакууме;

μ - относительная магнитная проницаемость среды;

$\epsilon_a = \epsilon_0 \cdot \epsilon$ - абсолютная диэлектрическая проницаемость среды;

$\epsilon_0 = 1/(120\pi \cdot c)$ - абсолютная диэлектрическая проницаемость вакуума (электрическая постоянная);

ϵ - относительная диэлектрическая проницаемость среды.

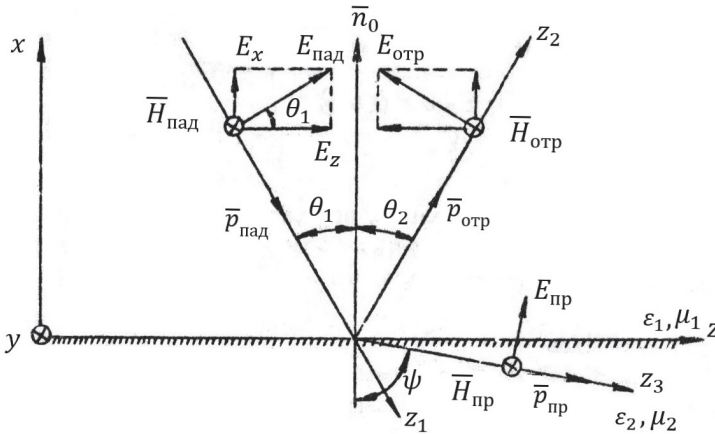


Рис.П.1.1. Отражение и преломление плоской однородной волны на плоской границе раздела двух сред при вертикальной поляризации

Для воздуха или вакуума это сопротивление равно

$$\dot{\eta}_0 = \sqrt{\frac{\mu_0}{\epsilon_0}} = 120\pi, \text{ Ом}$$

и называется волновым сопротивлением свободного пространства.

Действующие значения нормальной и касательной к границе раздела напряженности электрического поля падающей волны равны:

$$E_{x\text{пад}} = E_{\text{пад}} \cdot \sin \theta ; \quad E_{z\text{пад}} = E_{\text{пад}} \cdot \cos \theta ; \quad H_{y\text{пад}} = \frac{E_{\text{пад}}}{\eta}.$$

При горизонтальной поляризации векторы \vec{E} и \vec{H} на рис.П.1.1 следует поменять местами. Нормальной к границе компонентой поля будет H_x , касательными – H_z и $E_y = E_{\text{пад}}$:

$$H_{\text{пад}} = \frac{E_{\text{пад}}}{\eta}; \quad H_{x\text{пад}} = H_{\text{пад}} \cdot \sin \theta ; \quad H_{z\text{пад}} = H_{\text{пад}} \cdot \cos \theta.$$

П.1.2. Коэффициент фазы, фазовая и групповая скорости, длина волны связаны друг с другом следующим образом (рис.П.1.2):

1) вдоль направления падения волны z_1 :

$$\beta = \omega \cdot \sqrt{\mu_a \cdot \epsilon_a}; \quad v_\phi = \frac{\omega}{\beta} = v_0; \quad v_{gp} = \frac{1}{d\beta/d\omega} = v_0; \quad \lambda = \frac{2\pi}{\beta} = \frac{v_0}{f},$$

где $v_0 = \frac{1}{\sqrt{\epsilon_a \cdot \mu_a}} = \frac{c}{\sqrt{\epsilon \cdot \mu}}$ – скорость света в данной среде;

ϵ и μ для воздуха равны 1;

2) по направлению вдоль оси z :

$$\beta_z = \beta \cdot \sin \theta; \quad v_{\phi z} = \frac{v_0}{\sin \theta}; \quad v_{gp z} = v_0 \cdot \sin \theta; \quad \lambda_z = \frac{\lambda}{\sin \theta} = \frac{v_{\phi z}}{f}.$$

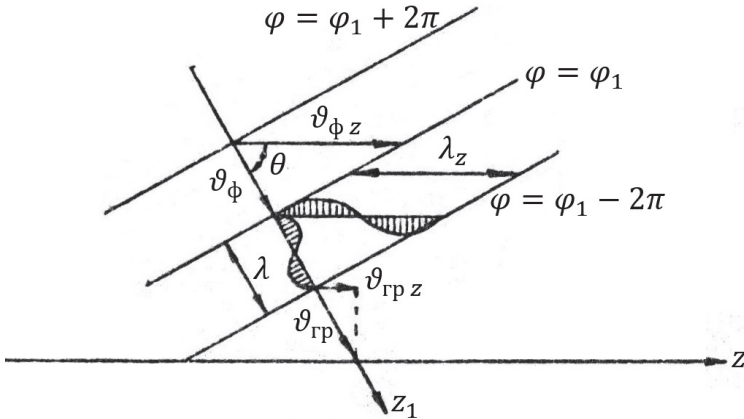


Рис.П.1.2. Фазовая, групповая скорости и длина волны

П.1.3. Модули усредненного по времени вектора Умова – Пойнтинга падающей волны при горизонтальной и вертикальной поляризации одинаковы и равны

$$\frac{\Lambda}{P_{nao}} = |E_{nao} \cdot H_{nao}| = \frac{E_{nao}^2}{\eta}.$$

П.1.4. Эффективная поверхностная плотность тока:

1) при горизонтальной поляризации

$$\delta_s = \delta_{sy} = H_t = 2H_{z\ nao},$$

где H_t – касательная к границе раздела компонента поля;

2) при вертикальной поляризации

$$\delta_s = \delta_{sz} = H_t = 2H_{y\ nao}.$$

П.1.5. Удельное поверхностное сопротивление отражающей поверхности и глубина проникновения

$$R_s = \sqrt{\frac{\mu_a \cdot \omega}{2\gamma}}; \Delta^* = \sqrt{\frac{2}{\mu_a \cdot \omega \cdot \gamma}}.$$

П.1.6. Полное сопротивление проводника:

1) при горизонтальной поляризации

$$R = R_s \cdot \frac{l_y}{l_z};$$

2) при вертикальной поляризации

$$R = R_s \cdot \frac{l_z}{l_y}.$$

П.1.7. Удельная мощность тепловых потерь:

1) при горизонтальной поляризации

$$p_t = \delta_{sy}^2 \cdot R_s;$$

2) при вертикальной поляризации

$$p_t = \delta_{sz}^2 \cdot R_s.$$

Полная мощность тепловых потерь на отражающей поверхности с площадью $S = l_y \cdot l_z$

$$P_t = p_t \cdot S.$$

П.1.8. Угол Брюстера и критический угол падения:

$$\operatorname{tg} \theta_{Br} = \sqrt{\frac{\epsilon_2}{\epsilon_1}}; \sin \theta_{kp} = \sqrt{\frac{\epsilon_2}{\epsilon_1}}.$$

Приложение 2

П.2. Методика выполнения задачи 2

П.2.1. Предварительно найдем длины волн рабочего диапазона:

$$\lambda_{\min} = \frac{v_0}{f_{\max}}; \quad \lambda_{\max} = \frac{v_0}{f_{\min}},$$

где $v_0 = \frac{1}{\sqrt{\mu_a \cdot \varepsilon_a}} = c$ – так как волновод заполнен воздухом.

Условия для выбора размеров прямоугольного волновода для волны Н₁₀:

$$0,9 \lambda_{\min} \geq a \geq 0,6 \lambda_{\max}; \quad b \leq a / 2.$$

Условия для выбора диаметра круглого волновода с волной Н₁₁:

$$0,77 \lambda_{\min} > D > 0,6 \lambda_{\max}, \quad D = 2R.$$

Условия для выбора диаметра круглого волновода с волной Е₀₁:

$$0,96 \lambda_{\min} > D > 0,76 \lambda_{\max}.$$

Удовлетворяющие этим условиям стандартные волноводы выбираются из табл. П.2.1.

Если в качестве рабочей волны задана не основная волна, а, например, волна Е₀₁ в круглом волноводе, то не всегда удастся подобрать стандартный волновод, и тогда размеры следует оставлять те, которые получены из расчета.

П.2.2. Для прямоугольного волновода значения K_x и K_y равны:

$$K_x = \frac{m\pi}{a}; \quad K_y = \frac{n\pi}{b},$$

где m, n – индексы, которые ставятся около названия волны (Н_{mn} и Е_{mn}, где $m = 0, 1, 2, 3, \dots$; $n = 0, 1, 2, 3, \dots$).

Для круглого волновода значения g_E и g_H равны:

$$g_E = \frac{\beta_{mn}}{R}; \quad g_H = \frac{\mu_{mn}}{R},$$

где $m = 0, 1, 2, 3, \dots$; $n = 0, 1, 2, 3, \dots$;

β_{mn} – корни функции Бесселя 1-го рода;

μ_{mn} – корни производной функции Бесселя.

Приводятся таблицы некоторых корней функции Бесселя 1-го рода β_{mn} и корней производной функции Бесселя μ_{mn} (табл. П.2.2 и П.2.3).

Коэффициент фазы в волноводе

$$K_z = \sqrt{\omega_{cp}^2 \cdot \varepsilon_a \cdot \mu_a - K_{кр}^2},$$

где $K_{кр} = \sqrt{K_x^2 + K_y^2}$ – для прямоугольного волновода;

$\varepsilon_a = \varepsilon_0$ и $\mu_a = \mu_0$ – если диэлектриком служит воздух;

$K_{кр} = g_{E,H}$ – для круглого волновода.

П.2.3. Для прямоугольного волновода из решения уравнений Максвелла с выполнением граничных условий на идеально проводящих стенках получаются решения для комплексных амплитуд поля волн типа Н_{mn}:

$$\begin{aligned} \dot{H}_z &= \dot{H}_{z_0} \cdot \cos(K_x \cdot x) \cdot \cos(K_y \cdot y) \cdot e^{-jK_z z}; \\ \dot{H}_x &= j \dot{H}_{z_0} \cdot \frac{K_x \cdot K_z}{K_{кр}^2} \cdot \sin(K_x \cdot x) \cdot \cos(K_y \cdot y) \cdot e^{-jK_z z}; \end{aligned}$$

$$\begin{aligned}\dot{H}_y &= j \dot{H}_{z_0} \cdot \frac{K_y \cdot K_z}{K_{кр}^2} \cdot \cos(K_x \cdot x) \cdot \sin(K_y \cdot y) \cdot e^{-jK_z z}; \\ \dot{E}_x &= j \dot{H}_{z_0} \cdot \frac{\omega \cdot \mu_a \cdot K_y}{K_{кр}^2} \cdot \cos(K_x \cdot x) \cdot \sin(K_y \cdot y) \cdot e^{-jK_z z}; \\ \dot{E}_y &= -j \dot{H}_{z_0} \cdot \frac{\omega \cdot \mu_a \cdot K_x}{K_{кр}^2} \cdot \sin(K_x \cdot x) \cdot \cos(K_y \cdot y) \cdot e^{-jK_z z},\end{aligned}$$

где $\dot{H}_{z_0} = H_{z_m} \cdot e^{j\varphi_0}$;

$$K_{кр} = \omega_{кр} \cdot \sqrt{\varepsilon_a \cdot \mu_a};$$

φ_0 – начальная фаза напряженности магнитного поля, рад;

H_{z_m} – действительная амплитуда напряженности продольного магнитного поля, А/м;

\dot{E}_x, \dot{E}_y – комплексные амплитуды напряженности электрического поля, В/м.

В круглом волноводе с радиусом R поле волн типа E_{mn} :

$$\begin{aligned}\dot{E}_z &= \dot{E}_{z_0} \cdot J_m(g_E \cdot r) \cdot \cos(m\alpha) \cdot e^{-jK_z z}; \\ \dot{E}_r &= -j \cdot \frac{K_z}{g_E} \cdot \dot{E}_{z_0} \cdot J'_m(g_E \cdot r) \cdot \cos(m\alpha) \cdot e^{-jK_z z}; \\ \dot{E}_\alpha &= j \cdot \frac{m \cdot K_z}{g_E^2 \cdot r} \cdot \dot{E}_{z_0} \cdot J_m(g_E \cdot r) \cdot \sin(m\alpha) \cdot e^{-jK_z z}; \\ \dot{H}_r &= -j \cdot \frac{m \cdot \omega \cdot \varepsilon_a}{g_E^2 \cdot r} \cdot \dot{E}_{z_0} \cdot J_m(g_E \cdot r) \cdot \sin(m\alpha) \cdot e^{-jK_z z}; \\ \dot{H}_\alpha &= -j \cdot \frac{\omega \cdot \varepsilon_a}{g_E} \cdot \dot{E}_{z_0} \cdot J'_m(g_E \cdot r) \cdot \cos(m\alpha) \cdot e^{-jK_z z},\end{aligned}$$

и для волн типа H_{mn} :

$$\begin{aligned}\dot{H}_z &= \dot{H}_{z_0} \cdot J_m(g_H \cdot r) \cdot \cos(m\alpha) \cdot e^{-jK_z z}; \\ \dot{H}_r &= -j \cdot \frac{K_z}{g_H} \cdot \dot{H}_{z_0} \cdot J'_m(g_H \cdot r) \cdot \cos(m\alpha) \cdot e^{-jK_z z}; \\ \dot{H}_\alpha &= j \cdot \frac{m \cdot K_z}{r \cdot g_H^2} \cdot \dot{H}_{z_0} \cdot J_m(g_H \cdot r) \cdot \sin(m\alpha) \cdot e^{-jK_z z}; \\ \dot{E}_r &= \frac{m \cdot \omega \cdot \mu_a}{r \cdot g_H^2} \cdot \dot{H}_{z_0} \cdot J_m(g_H \cdot r) \cdot \sin(m\alpha) \cdot e^{-jK_z z}; \\ \dot{E}_\alpha &= j \cdot \frac{\omega \cdot \varepsilon_a}{g_H} \cdot \dot{H}_{z_0} \cdot J'_m(g_H \cdot r) \cdot \cos(m\alpha) \cdot e^{-jK_z z}.\end{aligned}$$

Таблица П.2.1

Технические данные прямоугольных и круглых волноводов

| Прямоугольные волноводы | | | | | Круглые волноводы | | | | |
|----------------------------|---|------|--------------------|--------------|----------------------------|-------------|--|-----------------|-----------------|
| Обозначение типа волновода | Диапазон частот для основного типа волны, ГГц | | Внутренние размеры | | Обозначение типа волновода | Диаметр, мм | Критические частоты(ГГц) для волн типа | | |
| | от | до | ширина а, мм | высота b, мм | | | H ₁₁ | E ₀₁ | H ₂₁ |
| R26 | 2,17 | 3,30 | 86,3 | 43,18 | C25 | 83,62 | 2,1 | 2,74 | 3,49 |
| R32 | 2,60 | 3,95 | 72,14 | 34,04 | C30 | 71,42 | 2,46 | 3,21 | 4,08 |
| R40 | 3,22 | 4,90 | 58,17 | 29,08 | C35 | 61,04 | 2,88 | 3,76 | 4,77 |
| R48 | 3,94 | 5,99 | 47,55 | 22,149 | C40 | 51,99 | 3,38 | 4,41 | 5,61 |
| R70 | 5,38 | 8,17 | 34,85 | 15,8 | C48 | 44,45 | 3,95 | 5,16 | 6,56 |
| R84 | 6,57 | 9,99 | 28,5 | 12,62 | C65 | 32,54 | 5,4 | 7,05 | 8,96 |
| R100 | 8,2 | 12,5 | 22,86 | 10,16 | C76 | 27,78 | 6,32 | 8,26 | 10,5 |
| R120 | 9,84 | 15,0 | 19,05 | 9,52 | C89 | 23,825 | 7,37 | 9,63 | 12,2 |
| R140 | 11,9 | 18,0 | 15,0 | 7,9 | C104 | 20,244 | 8,68 | 11,3 | 14,4 |
| R180 | 14,5 | 22,0 | 12,954 | 6,477 | C165 | 12,7 | 13,8 | 18,1 | 22,9 |

Таблица П.2.2
Корни β_{mn} функции Бесселя

| m \ n | 1 | 2 | 3 |
|-------|-------|-------|--------|
| | 0 | 2,405 | 5,52 |
| 1 | 3,83 | 7,016 | 10,173 |
| 2 | 5,136 | 8,417 | 11,62 |

Таблица П.2.3
Корни μ_{mn} производной функции Бесселя

| m \ n | 1 | 2 | 3 |
|-------|-------|-------|-------|
| | 0 | 3,83 | 7,016 |
| 1 | 1,841 | 5,331 | 8,530 |
| 2 | 3,054 | 6,706 | 9,969 |

П.2.4. Критическая длина волны в прямоугольном волноводе

$$\lambda_{кр} = \frac{v_0}{f_{кр}} = \frac{1}{f_{кр} \cdot \sqrt{\varepsilon_a \cdot \mu_a}} = \frac{c}{f_{кр} \cdot \sqrt{\varepsilon \mu}} = K_{кр} = \frac{2}{\sqrt{\left(\frac{m}{a}\right)^2 + \left(\frac{n}{b}\right)^2}},$$

где $K_{кр} = 2\pi f_{кр} \cdot \sqrt{\varepsilon_a \cdot \mu_a} = \omega_{кр} \cdot \sqrt{\varepsilon_a \cdot \mu_a}$; $\omega_{кр} = 2\pi \cdot f_{кр}$.

Критические длины волн в круглом волноводе для волн типа E_{mn}

$$\lambda_{кр E} = \frac{2\pi}{g_E} = \frac{2\pi R}{\beta_{mn}}$$

и волн типа H_{mn}

$$\lambda_{кр H} = \frac{2\pi}{g_H} = \frac{2\pi R}{\mu_{mn}}.$$

Приведенные выше выражения для $\lambda_{кр}$ позволяют найти поперечные размеры прямоугольного волновода и диаметр ($D = 2R$) круглого волновода при работе с высшими типами волн.

П.2.5. В прямоугольном волноводе критические частоты волн типа Н и Е с одинаковыми сочетаниями индексов m и n одинаковы и равны

$$\omega_{кр mn} = \frac{\sqrt{\left(\frac{m\pi}{a}\right)^2 + \left(\frac{n\pi}{b}\right)^2}}{\sqrt{\varepsilon_a \mu_a}} = v_0 \cdot \sqrt{\left(\frac{m\pi}{a}\right)^2 + \left(\frac{n\pi}{b}\right)^2},$$

где $v_0 = \frac{1}{\sqrt{\varepsilon_a \cdot \mu_a}} = c$ – так как волновод заполнен воздухом.

В круглом волноводе критические частоты имеют разные значения у волн типа Н и Е даже с одинаковыми индексами.

Для волн типа E_{mn}

$$\omega_{кр E_{mn}} = \frac{g_E}{\sqrt{\varepsilon_a \cdot \mu_a}} = \frac{\beta_{mn}}{R \cdot \sqrt{\varepsilon_a \cdot \mu_a}}.$$

Для волн типа H_{mn}

$$\omega_{кр H_{mn}} = \frac{g_H}{\sqrt{\varepsilon_a \cdot \mu_a}} = \frac{\mu_{mn}}{R \cdot \sqrt{\varepsilon_a \cdot \mu_a}}.$$

П.2.6. Длина волны в волноводе, фазовая и групповая скорости вычисляются для прямоугольного и круглого волноводов по одинаковым формулам, но при соответствующих $\lambda_{кр}$:

$$\lambda_B = \frac{2\pi}{K_z} = \frac{2\pi}{\sqrt{K^2 - K_{кр}^2}} = \frac{2\pi}{K \cdot \sqrt{1 - \left(\frac{K_{кр}}{K}\right)^2}} = \frac{\lambda_0}{\sqrt{\varepsilon - \left(\frac{\lambda_0}{\lambda_{кр}}\right)^2}},$$

где $K = \sqrt{K_{кр}^2 + K_z^2} = \sqrt{g_{E,H}^2 + K_z^2} = \omega_0 \cdot \sqrt{\varepsilon_a \mu_a}$;

$\lambda_0 = \lambda_{ср}$ – в соответствии с заданием;

$\varepsilon = 1$ – в волноводе, заполненном воздухом;

$$v_{\phi} = \lambda_{\epsilon} f = \frac{v_0}{\sqrt{1 - \left(\frac{\lambda_0}{\lambda_{кр}}\right)^2}} = \frac{v_0}{\sqrt{1 - \left(\frac{\omega_{кр}}{\omega_0}\right)^2}} = \frac{c}{\sqrt{\epsilon} \cdot \sqrt{1 - \left(\frac{\lambda_0}{\lambda_{кр}}\right)^2}} \cdot \frac{1}{\epsilon};$$

$$v_{ср} = v_0 \cdot \sqrt{1 - \left(\frac{\omega_{кр}}{\omega_0}\right)^2} = v_0 \cdot \sqrt{1 - \left(\frac{\lambda_0}{\lambda_{кр}}\right)^2},$$

где $\omega_0 = \omega_{ср}$.

П.2.7. Максимально допустимая длина волновода, при которой искажения еще невелики

$$L_{\max} \leq 1,5 \cdot 10^8 \cdot \frac{\left[1 - \left(\frac{f_{кр}}{f_{\max}}\right)^2\right]^{3/2}}{f_{\max} (\Delta f / f_{\max})^2 \cdot (f_{кр} / f_{\max})^2},$$

где $\Delta f = \frac{2}{\tau}$ - разность двух крайних частот спектра.

П.2.8. Предельная мощность в прямоугольном волноводе на средней частоте и волне типа H_{10} и H_{20}

$$P_{\text{пред}} = 6,63 \cdot 10^{-4} \cdot ab \cdot E_{\text{проб}}^2 \cdot \sqrt{1 - \left(\frac{\lambda_{ср}}{\lambda_{кр}}\right)^2}.$$

Предельная мощность в круглом волноводе:

1) с волной типа H_{11}

$$P_{\text{пред}} = 1,99 \cdot 10^{-3} \cdot R^2 \cdot E_{\text{проб}}^2 \cdot \sqrt{1 - \left(\frac{\lambda_{ср}}{\lambda_{кр}}\right)^2},$$

где $E_{\text{проб}}$ в В/м;

2) с волной E_{01}

$$P_{\text{пред}} = 1,125 \cdot 10^{-3} \cdot R^2 \cdot E_{\text{проб}}^2 \cdot \left(\left(\frac{\lambda_{кр}}{\lambda_{ср}}\right)^2 - 1\right).$$

Пробивная мощность $P_{\text{проб}} = P_{\text{пред}} / \text{КСВ}$,

где КСВ – коэффициент стоячей волны.

Максимально допустимая мощность

$$P_{\text{доп}} = \frac{P_{\text{проб}}}{3 \div 5}.$$

Рабочая мощность (мощность, проходящая по волноводу)

$$P_{\text{раб}} = \frac{P_{\text{проб}}}{E_{\text{проб}}^2} \cdot E_{\text{раб } m}^2,$$

где $E_{\text{раб } m}$ – амплитуда максимального значения электрического поля.

В задании именно это максимальное значение поля $E = E_{\text{раб } m}$ и задано.

Должно выполняться условие

$$P_{\text{раб}} \ll P_{\text{дон}}.$$

П.2.9. Коэффициент затухания волн типа H_{10} и H_{20} в прямоугольном волноводе при воздушном заполнении равен

$$\alpha = \frac{0,023 R_s \left[\left(\frac{1}{b} \right) + \left(\frac{2}{a} \right) \cdot \left(\frac{\lambda_{cp}}{\lambda_{кр}} \right)^2 \right]}{\sqrt{1 - \left(\frac{\lambda_{cp}}{\lambda_{кр}} \right)^2}}, \text{ дБ/м,}$$

где R_s – удельное поверхностное сопротивление

$$R_s = \sqrt{\frac{\mu_a \cdot \omega_{cp}}{2\gamma}} = \frac{34,5}{\sqrt{\lambda_{cp} \gamma}},$$

где γ – удельная объемная проводимость стенок.

Коэффициенты затухания в круглом волноводе равны у волн H_{11}

$$\alpha = \frac{0,023 \cdot R_s \left[\left(\frac{\lambda_{cp}}{\lambda_{кр}} \right)^2 + 0,416 \right]}{R \sqrt{1 - \left(\frac{\lambda_{cp}}{\lambda_{кр}} \right)^2}}, \text{ дБ/м,}$$

и у волн E_{01}

$$\alpha = \frac{0,023 \cdot R_s}{R \sqrt{1 - \left(\frac{\lambda_{cp}}{\lambda_{кр}} \right)^2}}, \text{ дБ/м,}$$

где R – внутренний радиус волновода.

П.2.10. Отношение амплитуд поля и отношение мощностей можно найти из следующей формулы

$$\alpha = \frac{20}{l} \cdot \lg \frac{E_m(z)}{E_m(z+l)} = \frac{10}{l} \lg \frac{P(z)}{P(z+l)}, \text{ дБ/м.}$$

П.2.11. Расстояние Δz , на котором поле волны H_{20} (или H_{01}), находящейся в закритическом режиме, уменьшается в 100 раз на средней частоте диапазона, находится так:

$$\frac{E_m(z)}{E_m(z+l)} = 100 = e^{K'_z \Delta z}; \quad \ln 100 = 2,3 \lg 100 = K'_z \Delta z.$$

Критическая длина волны типа H_{20} при выбранных размерах прямоугольного волновода

$$\lambda_{кр} = \frac{2}{\sqrt{\left(\frac{m}{a} \right)^2 + \left(\frac{n}{b} \right)^2}} = a \cdot$$

Критическая длина волны типа H_{01} в круглом волноводе

$$\lambda_{кр H} = \frac{2\pi}{g_H} = \frac{2\pi R}{\mu_{mn}} = \frac{2\pi R}{\mu_{01}}.$$

Коэффициент закритического затухания

$$K'_z = \sqrt{K_{кр}^2 - K^2} = K \sqrt{\left(\frac{\omega_{кр}}{\omega_{cp}}\right)^2 - 1} = 2\pi \sqrt{\varepsilon_a \mu_a} \cdot \sqrt{f^2_{кр} - f^2_{cp}} = 2\pi \sqrt{\frac{\lambda_{cp}^2 - \varepsilon \lambda_{кр}^2}{\lambda_{cp} \lambda_{кр}}},$$

где $\varepsilon = 1$ - для воздуха.

Откуда расстояние, на котором поле уменьшится в 100 раз, равно

$$\Delta z = \frac{4,6}{K'_z}.$$

П.2.12. Коэффициент полезного действия несогласованной с нагрузкой линии передачи

$$\text{КПД} = \left(1 - \left|\dot{\Gamma}\right|^2\right) \cdot e^{-2\alpha l},$$

где $\left|\dot{\Gamma}\right|$ - модуль коэффициента отражения;

α - коэффициент затухания в Неп/м;

l - длина линии.

Модуль коэффициента отражения

$$\left|\dot{\Gamma}\right| = \frac{КСВ - 1}{КСВ + 1},$$

где $КСВ = 1 / КБВ$.

Коэффициент затухания

$$\alpha = \frac{\alpha, \text{дБ/м}}{8,69} = \alpha, \frac{\text{Неп}}{\text{м}}.$$

При расчете КПД величина $e^{2\alpha l} = x$ вычисляется как обычно

$$\ln x = 2,3 \lg x = 2\alpha l; \quad \lg x = \frac{2\alpha l}{2,3}.$$

Далее, находим x .

Отсюда

$$\text{КПД} = \frac{1 - \left|\dot{\Gamma}\right|^2}{x}.$$

Приложение 3

П.3. Методика выполнения задачи 3

П.3.1. Картины полей различных типов колебаний в резонаторах различной формы приведены на рис.П.3.1.

П.3.2. Для прямоугольного резонатора составляющие поля для колебаний H_{mnp} :

$$\begin{aligned}
\dot{H}_z &= \dot{H}_{z_0} \cos(K_x x) \cdot \cos(K_y y) \cdot \sin(K_z z); \\
\dot{H}_y &= j \dot{H}_{z_0} \frac{K_z \cdot K_x}{K_x^2 + K_y^2} \cos(K_x x) \cdot \sin(K_y y) \cdot \cos(K_z z); \\
\dot{H}_x &= j \dot{H}_{z_0} \frac{K_z \cdot K_x}{K_x^2 + K_y^2} \sin(K_x x) \cos(K_y y) \cos(K_z z); \\
\dot{E}_x &= \dot{H}_{z_0} \frac{\omega \mu_a K_y}{K_x^2 + K_y^2} \cos(K_x x) \sin(K_y y) \sin(K_z z); \\
\dot{E}_y &= -\dot{H}_{z_0} \frac{\omega \mu_a K_x}{K_x^2 + K_y^2} \sin(K_x x) \cos(K_y y) \sin(K_z z); \\
\dot{E}_z &= 0; \quad \dot{H}_{z_0} = H_{z_m} \cdot e^{j(\omega t + \varphi_0)},
\end{aligned}$$

где $K_x = \frac{m\pi}{a}$; $K_y = \frac{n\pi}{b}$; $K_z = \frac{p\pi}{d}$.

Пример картины поля типа H_{mnp} , например, H_{101} , приведен на рис.П.3.1,а.

Для прямоугольного резонатора составляющие поля для колебаний типа E_{mnp} :

$$\begin{aligned}
\dot{E}_z &= \dot{E}_{z_0} \sin(K_x x) \cdot \sin(K_y y) \cdot \cos(K_z z); \\
\dot{H}_y &= -j \dot{E}_{z_0} \frac{\omega \epsilon_a K_x}{K_x^2 + K_y^2} \cos(K_x x) \sin(K_y y) \cos(K_z z); \\
\dot{E}_x &= -\dot{E}_{z_0} \frac{K_z \cdot K_x}{K_x^2 + K_y^2} \cos(K_x x) \sin(K_y y) \sin(K_z z); \\
\dot{E}_y &= -\dot{E}_{z_0} \frac{K_z \cdot K_y}{K_x^2 + K_y^2} \sin(K_x x) \cos(K_y y) \sin(K_z z); \\
\dot{H}_z &= 0; \quad \dot{E}_{z_0} = E_{z_m} \cdot e^{j(\omega t + \varphi_0)}.
\end{aligned}$$

Пример картины колебаний типа E_{mnp} , например, E_{110} , приведен на рис.П.3.1,б.

У цилиндрического резонатора составляющие поля колебания типа E_{010} равны:

$$\dot{E}_z = \dot{E}_{z_0} J_0\left(\frac{\beta_{01}}{R} \cdot r\right); \quad \dot{H}_\alpha = -j \sqrt{\frac{\epsilon_a}{\mu_a}} E_{z_0} J_1\left(\frac{\beta_{01}}{R} r\right),$$

где β_{01} - находится из табл.П.2.2;

$J_0(x)$ и $J_1(x)$ - функция Бесселя 1-го рода нулевого и первого порядка соответственно (находятся из Приложения 4).

Картина поля колебания E_{010} приведена на рис.П.3.1,в.

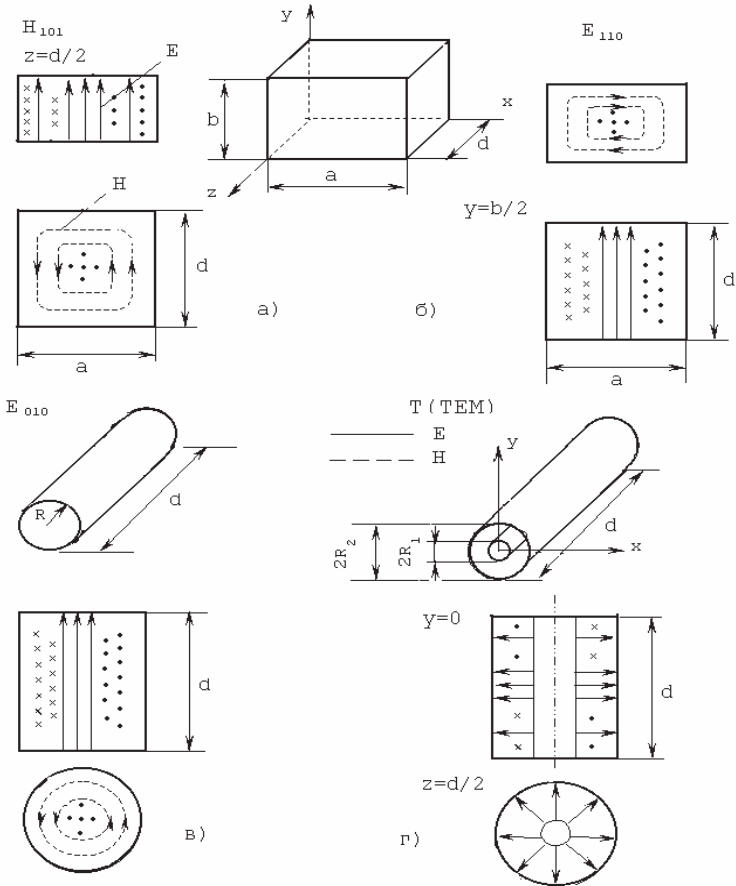


Рис.П.3.1. Полые металлические резонаторы:
 а) и б) – прямоугольный с колебаниями H_{101} и E_{110} ;
 в) – цилиндрический с колебанием E_{010} ;
 г) – коаксиальный Т (TEM) ($p=1$)

Для коаксиального резонатора с волной Т (ТЕМ), картина поля которой для $p=1$ приведена на рис.П.3.1,г :

$$\dot{E}_r = \dot{E}_{r_0} \frac{R_1}{r} \sin \frac{p\pi}{d} z; \quad \dot{H}_\alpha = j \dot{E}_{r_0} \frac{R_1}{r} \sqrt{\frac{\varepsilon_a}{\mu_a}} \cos \frac{p\pi}{d} z.$$

П.3.3. Резонансные частоты в прямоугольном резонаторе с колебаниями типа H_{mnp} и E_{mnp}

$$\omega_{резE,H} = \frac{\sqrt{\left(\frac{m\pi}{a}\right)^2 + \left(\frac{n\pi}{b}\right)^2 + \left(\frac{p\pi}{d}\right)^2}}{\sqrt{\varepsilon_a \mu_a}}.$$

Резонансные частоты цилиндрических резонаторов с колебаниями типа E_{mn}

$$\omega_{рез E} = \frac{\sqrt{\left(\frac{\beta_{mn}}{R}\right)^2 + \left(\frac{p\pi}{d}\right)^2}}{\sqrt{\varepsilon_a \mu_a}},$$

где β_{mn} - корень функции Бесселя первого рода m – го порядка.

Резонансная частота коаксиального резонатора с колебанием типа Т (ТЕМ)

$$\omega_{рез} = \frac{p\pi c}{d\sqrt{\varepsilon}},$$

где $c = 3 \cdot 10^8$ м/с.

П.3.4. Запасенная электромагнитная энергия:

1) в прямоугольном резонаторе с типом колебания H_{101}

$$W_{H_{101}} = \frac{\varepsilon_a}{4} E_{y_{m.макс}}^2 \frac{abd}{4};$$

2) в прямоугольном резонаторе с типом колебания E_{110}

$$W_{E_{110}} = \frac{\varepsilon_a}{4} E_{z_{m.макс}}^2 \frac{abd}{4};$$

3) в цилиндрическом резонаторе с колебанием типа E_{010}

$$W_{E_{010}} = \frac{\varepsilon_a}{4} E_{z_{m.макс}}^2 2\pi d \frac{R^2}{2} J_1^2(\beta_{01}),$$

где $J_1(x)$ - находится из табл.П.4.1 Приложения 4;

4) в коаксиальном резонаторе с колебанием типа Т (ТЕМ) при $p=1$

$$W_T = \frac{\varepsilon_a}{4} E_{r_{m.макс}}^2 R_1^2 2\pi \frac{d}{2} \ln \frac{R_2}{R_1}.$$

П.3.5. Глубина проникновения в материал стенок

$$\Delta^o = \sqrt{\frac{2}{\omega_{рез} \mu_a \gamma}}.$$

П.3.6. Добротность при различных типах колебаний:

1) в прямоугольном резонаторе с колебаниями H_{101} и H_{110}

$$Q_{H_{101}} = \frac{adb(a^2 + d^2)}{ad(a^2 + d^2) + 2b(a^3 + d^3)} \cdot \frac{1}{\Delta^o},$$

$$Q_{E_{110}} = \frac{abd(a^2 + b^2)}{ab(a^2 + b^2) + 2d(a^3 + b^3)} \cdot \frac{1}{\Delta^o};$$

2) в цилиндрическом резонаторе с колебанием E_{010}

$$Q_{E_{010}} = \frac{d \cdot R}{d + R} \cdot \frac{1}{\Delta^o};$$

3) в коаксиальном резонаторе с колебанием Т (ТЕМ) при $p=1$

$$Q_T = \frac{2d \cdot \ln(R_2 / R_1)}{4 \ln(R_2 / R_1) + d(1/R_1 + 1/R_2)} \cdot \frac{1}{\Delta^o}.$$

П.3.7. Энергия при свободных колебаниях тратится на потери и постепенно уменьшается по закону

$$W = W_0 e^{-\frac{\omega_0 t}{Q}} = W_0 e^{-\frac{2t}{\tau_0}}, \quad \tau_0 = \frac{2Q}{\omega_0},$$

где W_0 – начальный запас энергии в резонаторе при $t = 0$;

τ_0 – постоянная времени;

ω_0 – собственная частота резонатора.

Собственная частота ω_0 и резонансная частота $\omega_{рез}$ связаны друг с другом через добротность Q так, что

$$\omega_0 = \omega_{рез} \sqrt{1 + \frac{1}{4Q^2}}.$$

Как видно, при больших добротностях $Q \geq 10$ в инженерных расчетах этой разницей в величинах резонансной и собственной частот можно пренебречь и считать $\omega_0 = \omega_{рез}$.

За время t энергия поля при свободных колебаниях уменьшается $W_0 / W = e^{2t / \tau_0}$.

Значение функции Бесселя 1-го рода нулевого порядка $J_0(x)$ и первого порядка $J_1(x)$ для аргументов от $x=1,6$ до $x=4,05$

Таблица П.4.1

| x | $J_0(x)$ | $J_1(x) = -J'_0(x)$ | x | $J_0(x)$ | $J_1(x) = -J'_0(x)$ |
|------|----------|---------------------|------|----------|---------------------|
| 1,60 | 0,455 | 0,570 | 2,85 | -0,205 | 0,393 |
| 1,65 | 0,427 | 0,574 | 2,90 | -0,224 | 0,375 |
| 1,70 | 0,398 | 0,578 | 2,95 | -0,242 | 0,357 |
| 1,75 | 0,369 | 0,580 | 3,00 | -0,260 | 0,339 |
| 1,80 | 0,340 | 0,581 | 3,05 | -0,276 | 0,320 |
| 1,85 | 0,311 | 0,582 | 3,10 | -0,292 | 0,301 |
| 1,90 | 0,282 | 0,581 | 3,15 | -0,306 | 0,281 |
| 1,95 | 0,253 | 0,579 | 3,20 | -0,320 | 0,261 |
| 2,00 | 0,224 | 0,577 | 3,25 | -0,333 | 0,241 |
| 2,05 | 0,195 | 0,573 | 3,30 | -0,344 | 0,221 |
| 2,10 | 0,166 | 0,568 | 3,35 | -0,355 | 0,200 |
| 2,15 | 0,138 | 0,563 | 3,40 | -0,364 | 0,179 |
| 2,20 | 0,110 | 0,556 | 3,45 | -0,373 | 0,158 |
| 2,25 | 0,083 | 0,548 | 3,50 | -0,380 | 0,137 |
| 2,30 | 0,055 | 0,540 | 3,55 | -0,386 | 0,116 |
| 2,35 | 0,029 | 0,530 | 3,60 | -0,392 | 0,095 |
| 2,40 | 0,002 | 0,520 | 3,65 | -0,396 | 0,074 |
| 2,45 | -0,023 | 0,509 | 3,70 | -0,399 | 0,054 |
| 2,50 | -0,048 | 0,497 | 3,75 | -0,401 | 0,033 |
| 2,55 | -0,073 | 0,483 | 3,80 | -0,403 | 0,013 |
| 2,60 | -0,097 | 0,471 | 3,85 | -0,403 | -0,007 |
| 2,65 | -0,120 | 0,457 | 3,90 | -0,402 | -0,627 |
| 2,70 | -0,142 | 0,442 | 3,95 | -0,401 | -0,047 |
| 2,75 | -0,164 | 0,426 | 4,00 | -0,397 | -0,066 |
| 2,80 | -0, 5 | 0,410 | 4,05 | -0,393 | -0,085 |

**МОСКОВСКИЙ ГОСУДАРСТВЕННЫЙ
ТЕХНИЧЕСКИЙ УНИВЕРСИТЕТ
ГРАЖДАНСКОЙ АВИАЦИИ**

Кафедра ТЭ РЭО ВТ

КОНТРОЛЬНАЯ РАБОТА № __

по дисциплине
ЭЛЕКТРОДИНАМИКА И РРВ

Выполнил: студент _ курса
факультета _____
группы _____
Иванов И.И.
шифр _____

Москва – 20__